

A-03063 FIGS. 1-30

FIG. 1

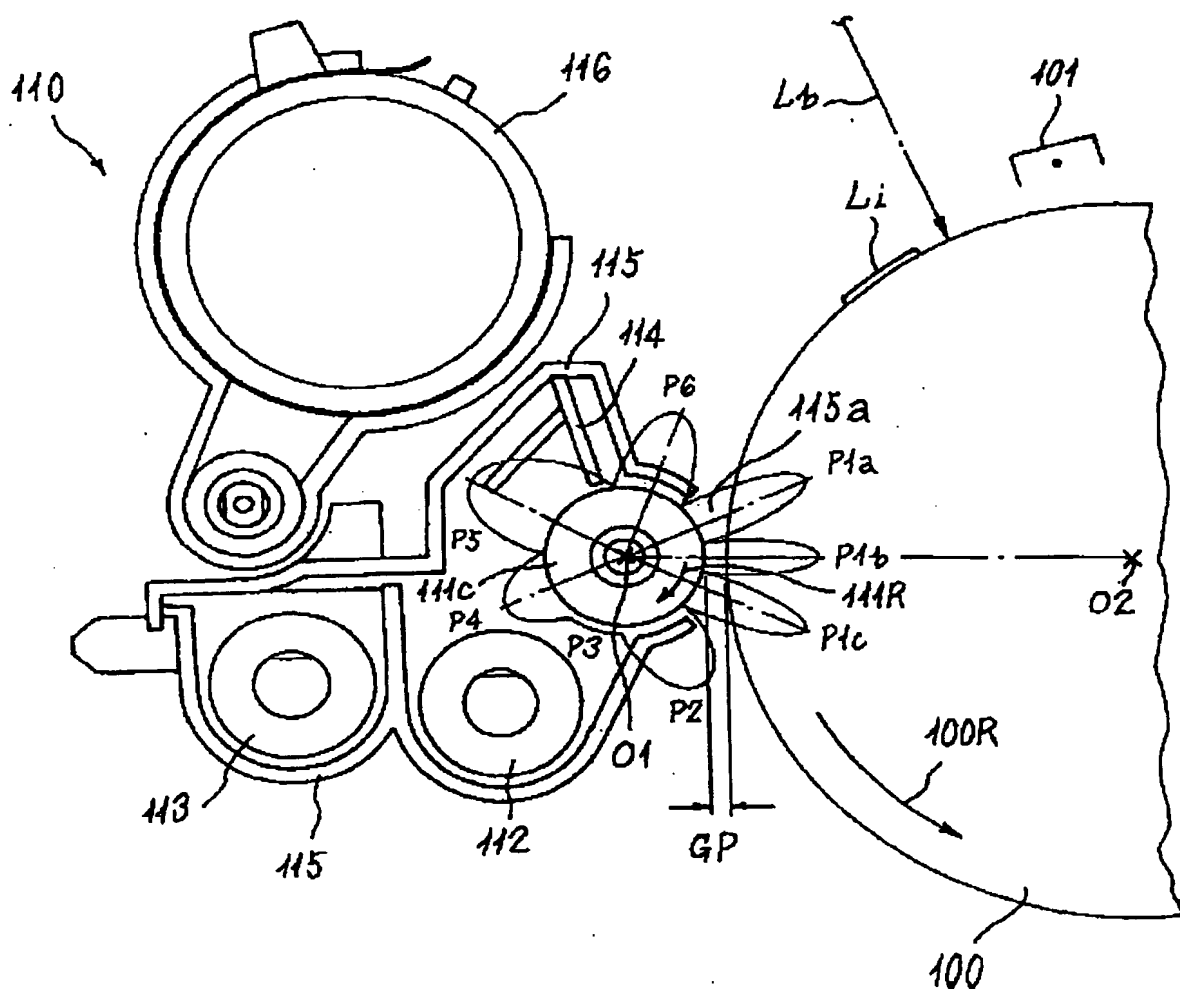


FIG. 2

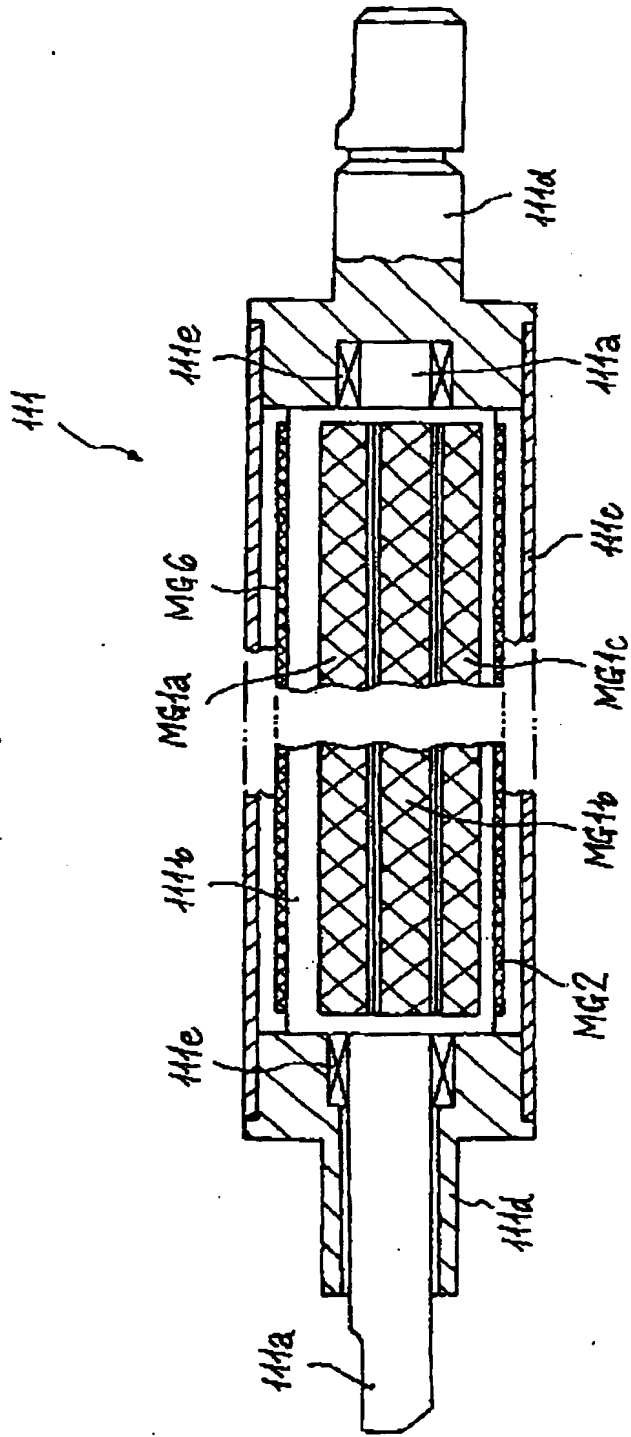


FIG. 3

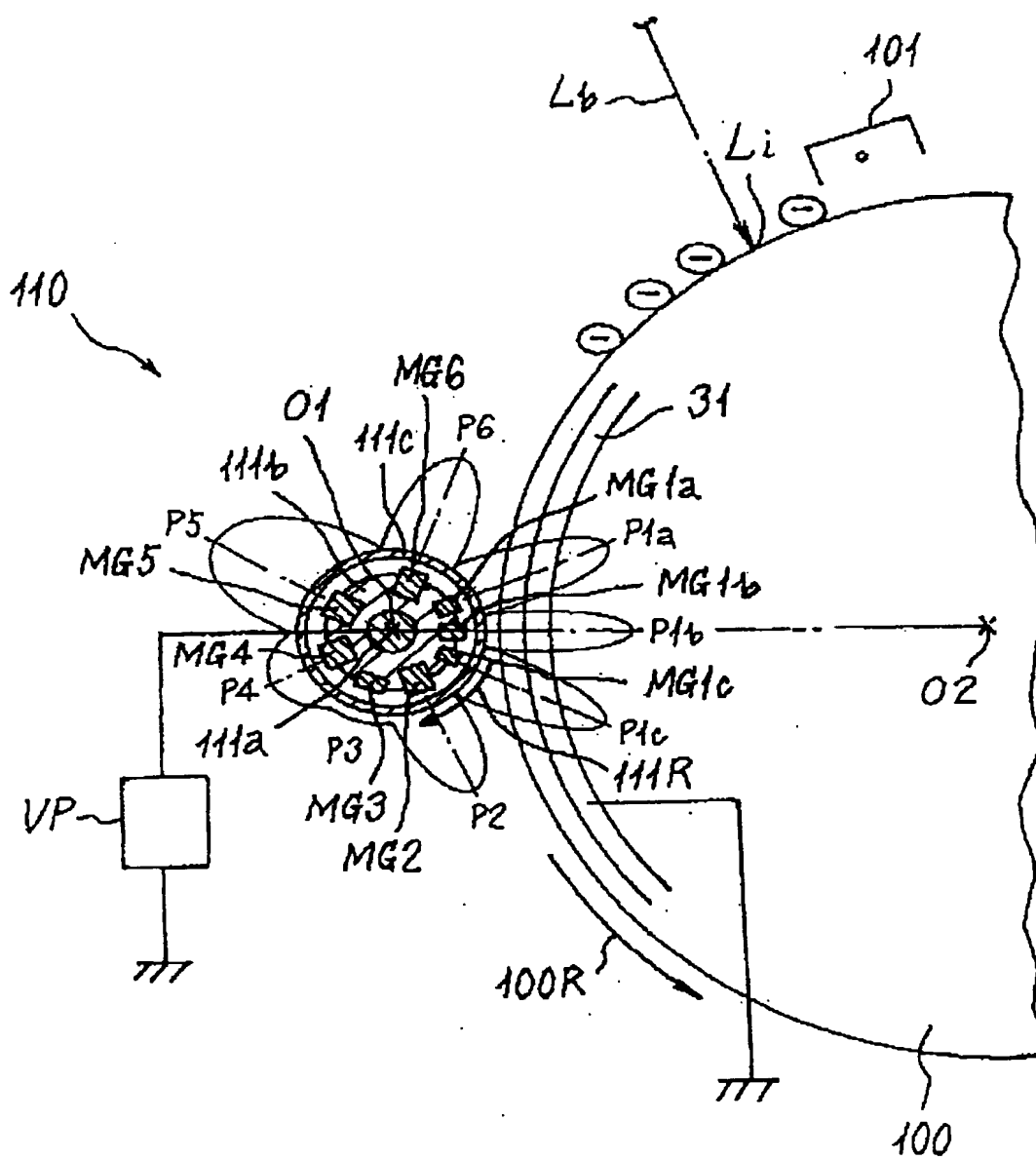


FIG. 4A

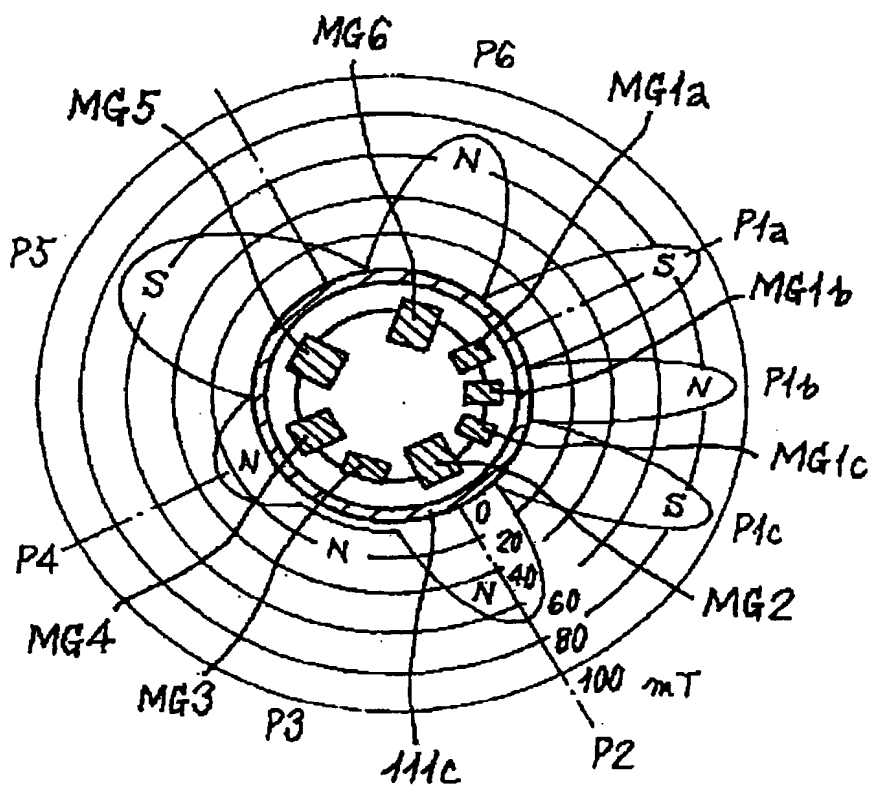


FIG. 4B

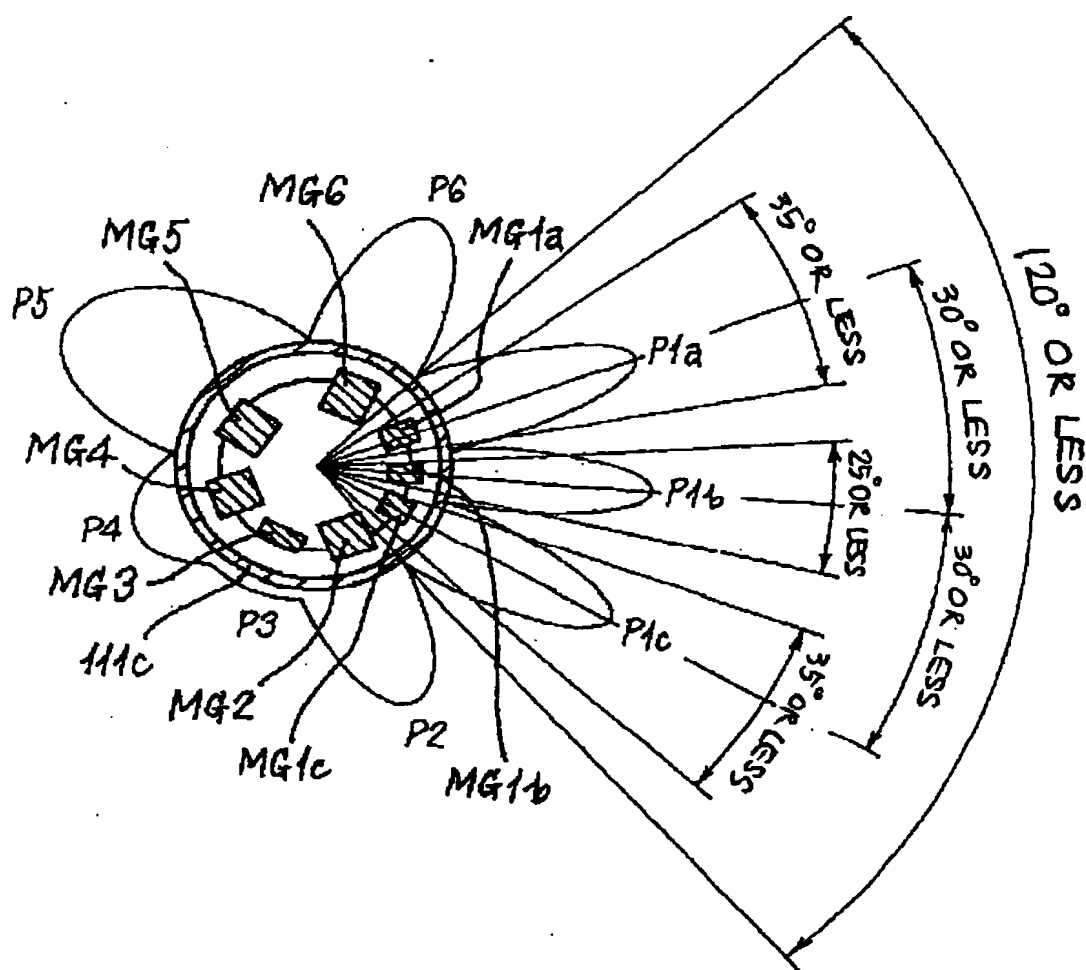


FIG. 5A

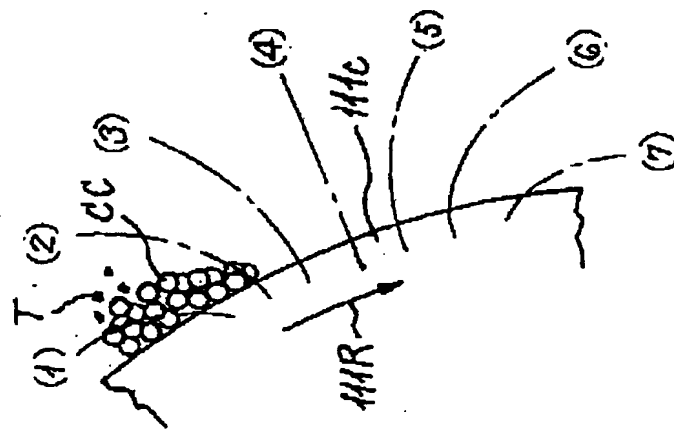


FIG. 5B

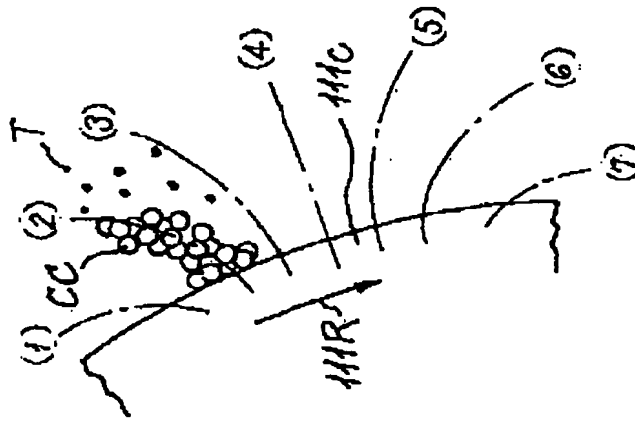


FIG. 5C

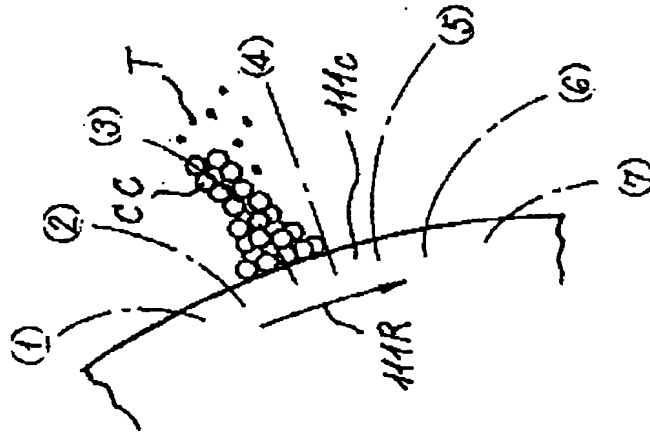


FIG. 5G

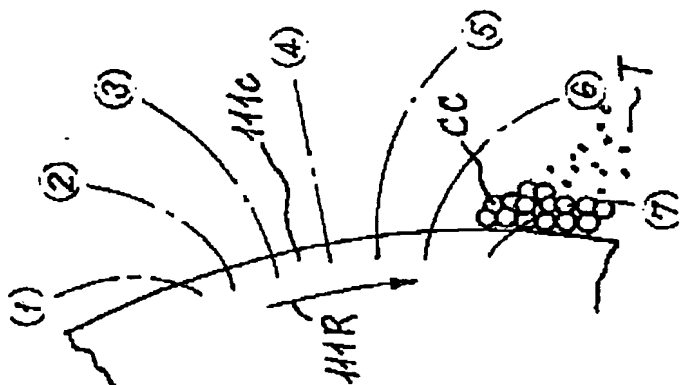


FIG. 5F

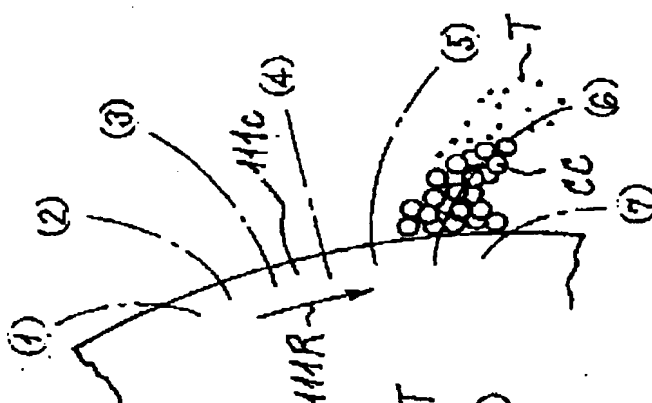


FIG. 5E

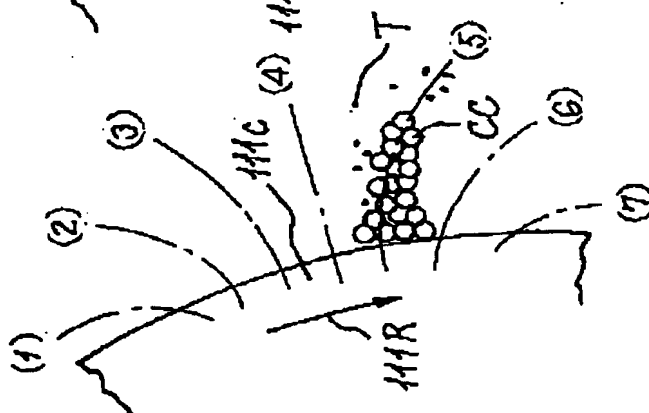


FIG. 5D

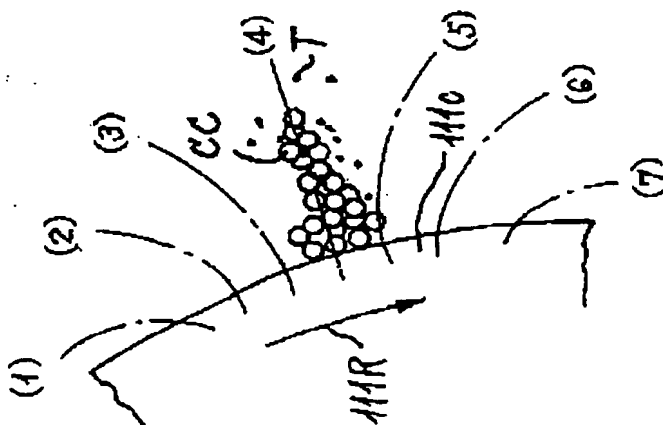


FIG. 6

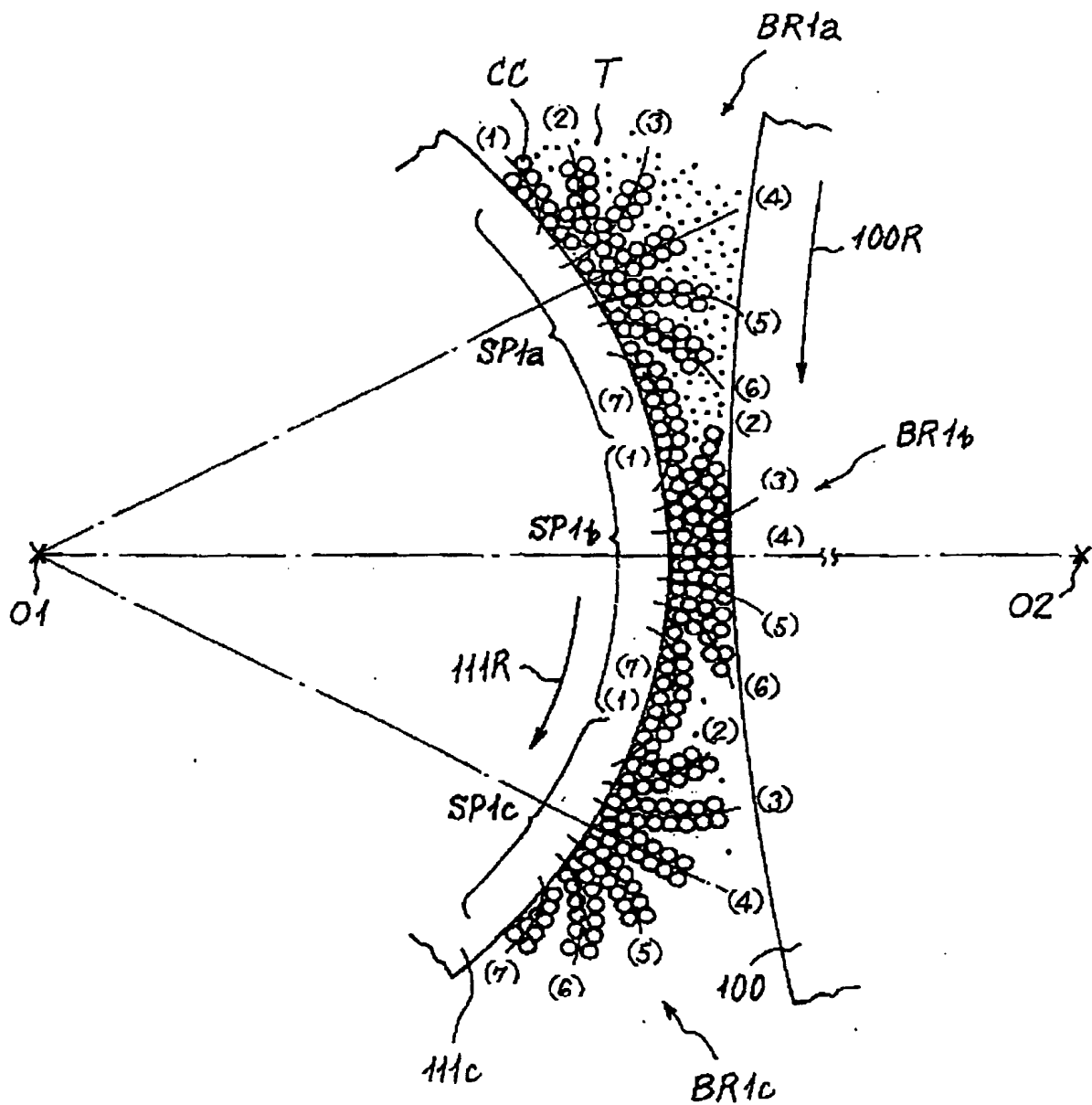


FIG. 7

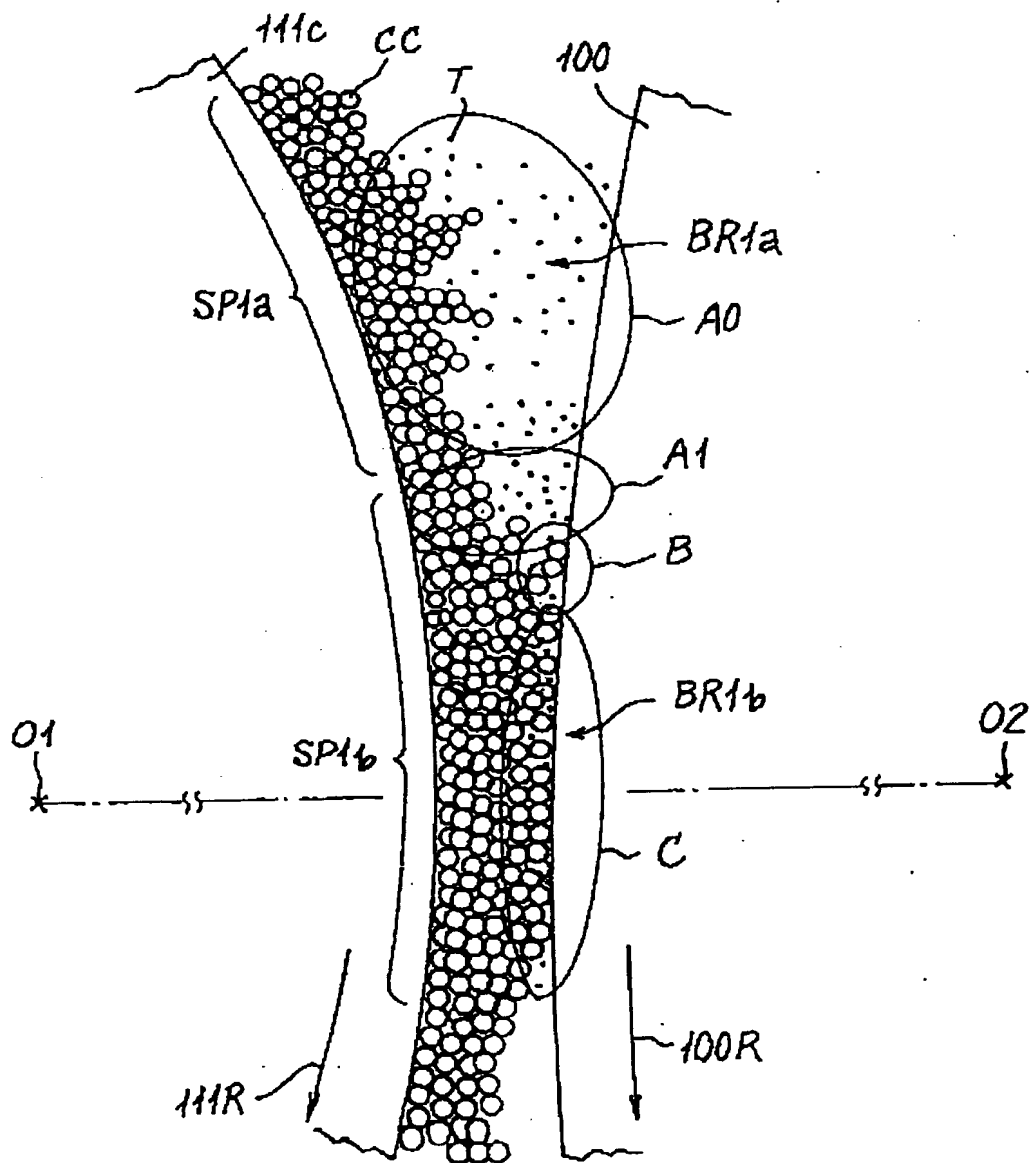


FIG. 8

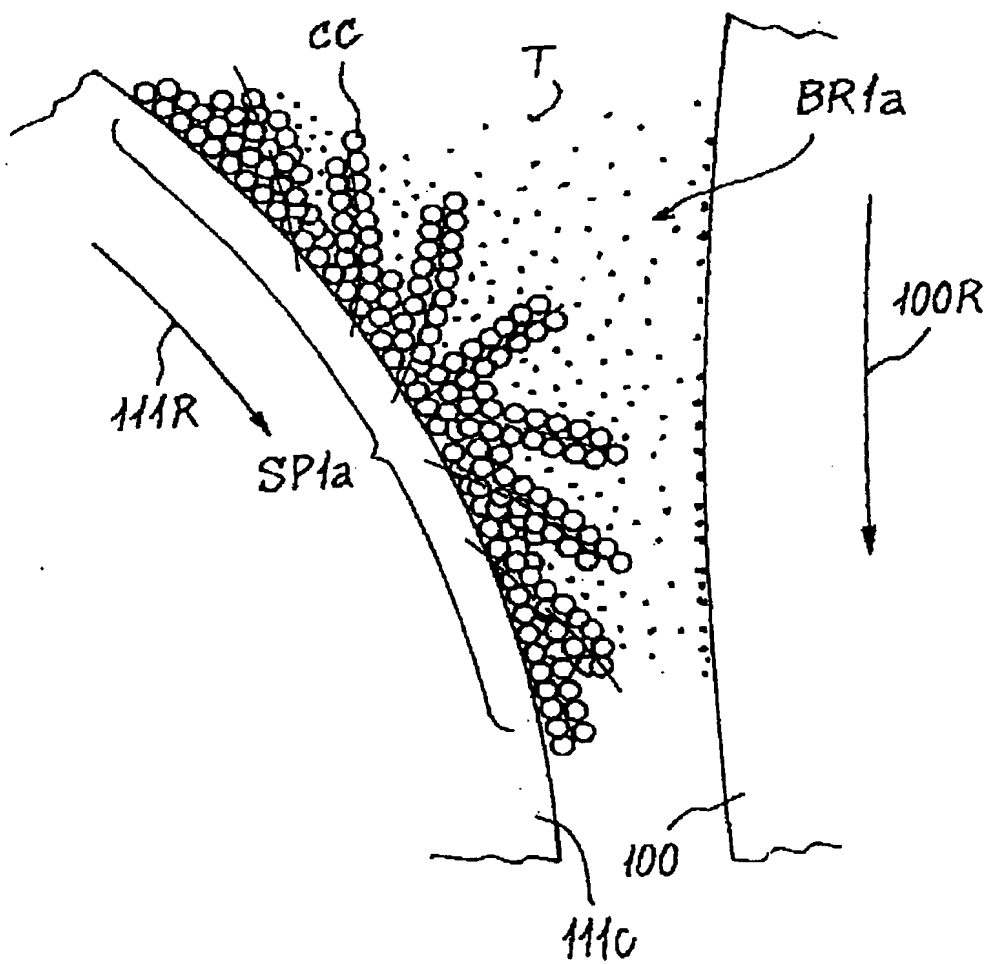


FIG. 9

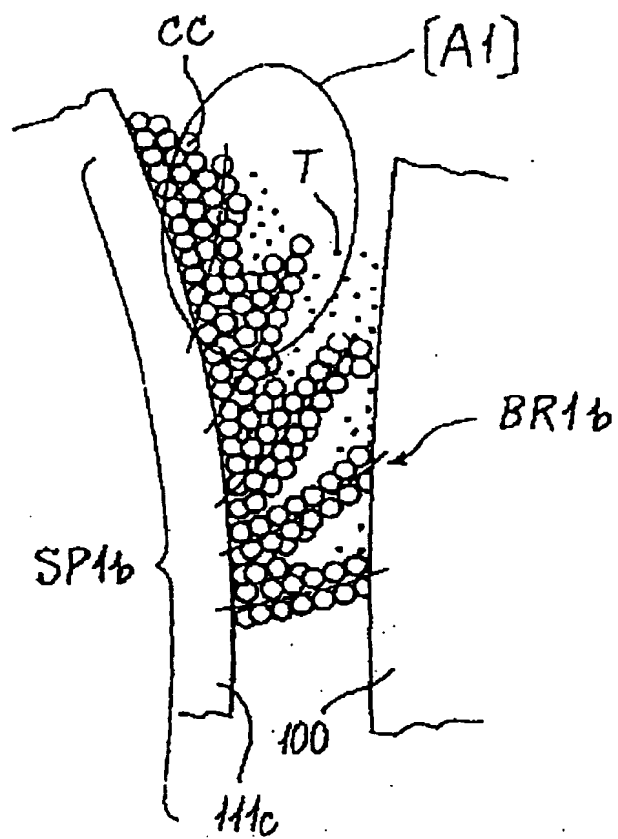


FIG. 10

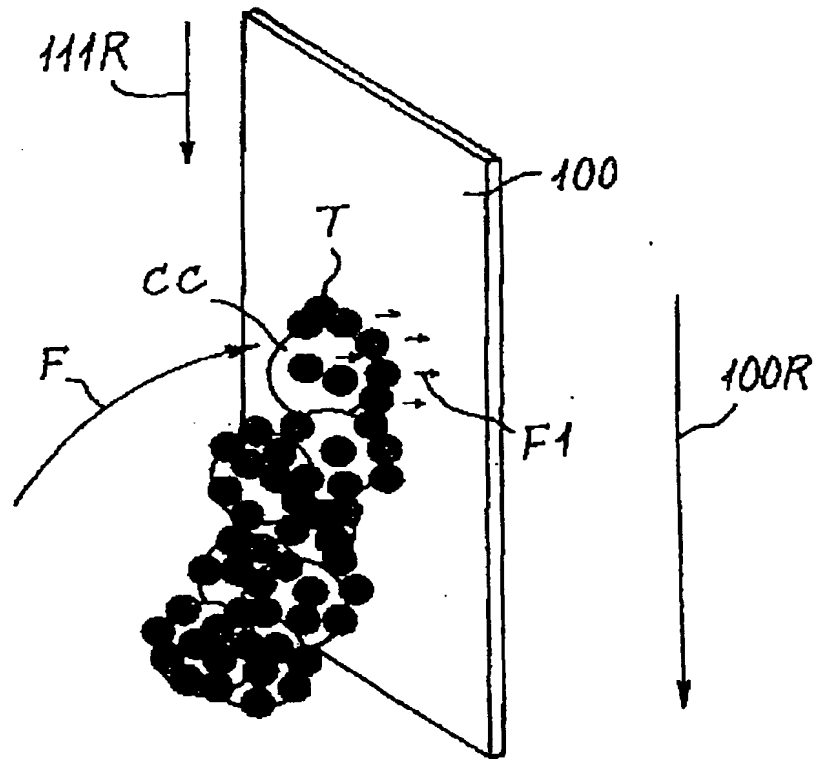


FIG. 11

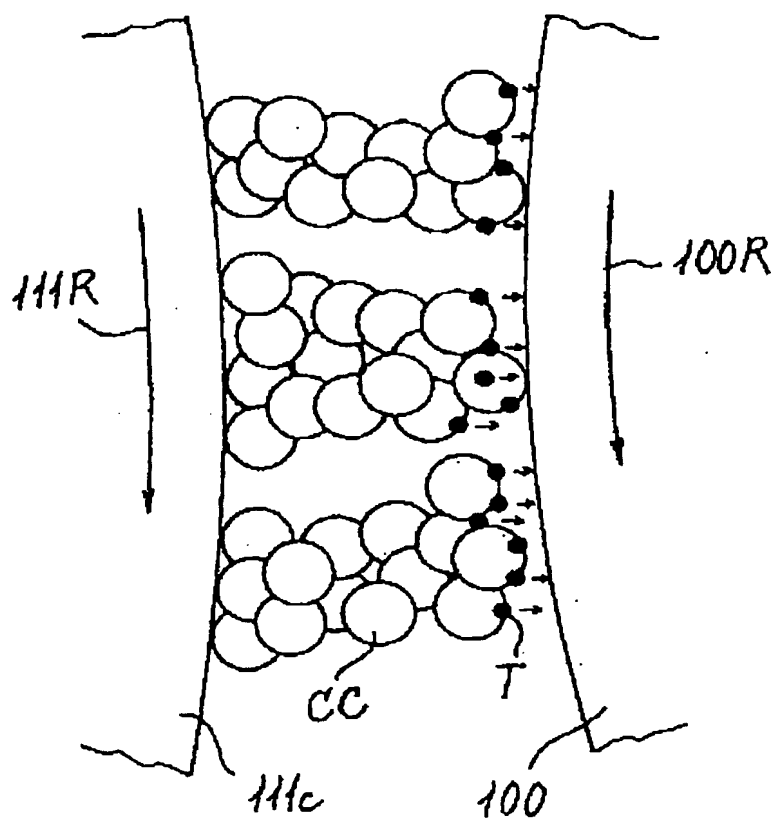


FIG. 12

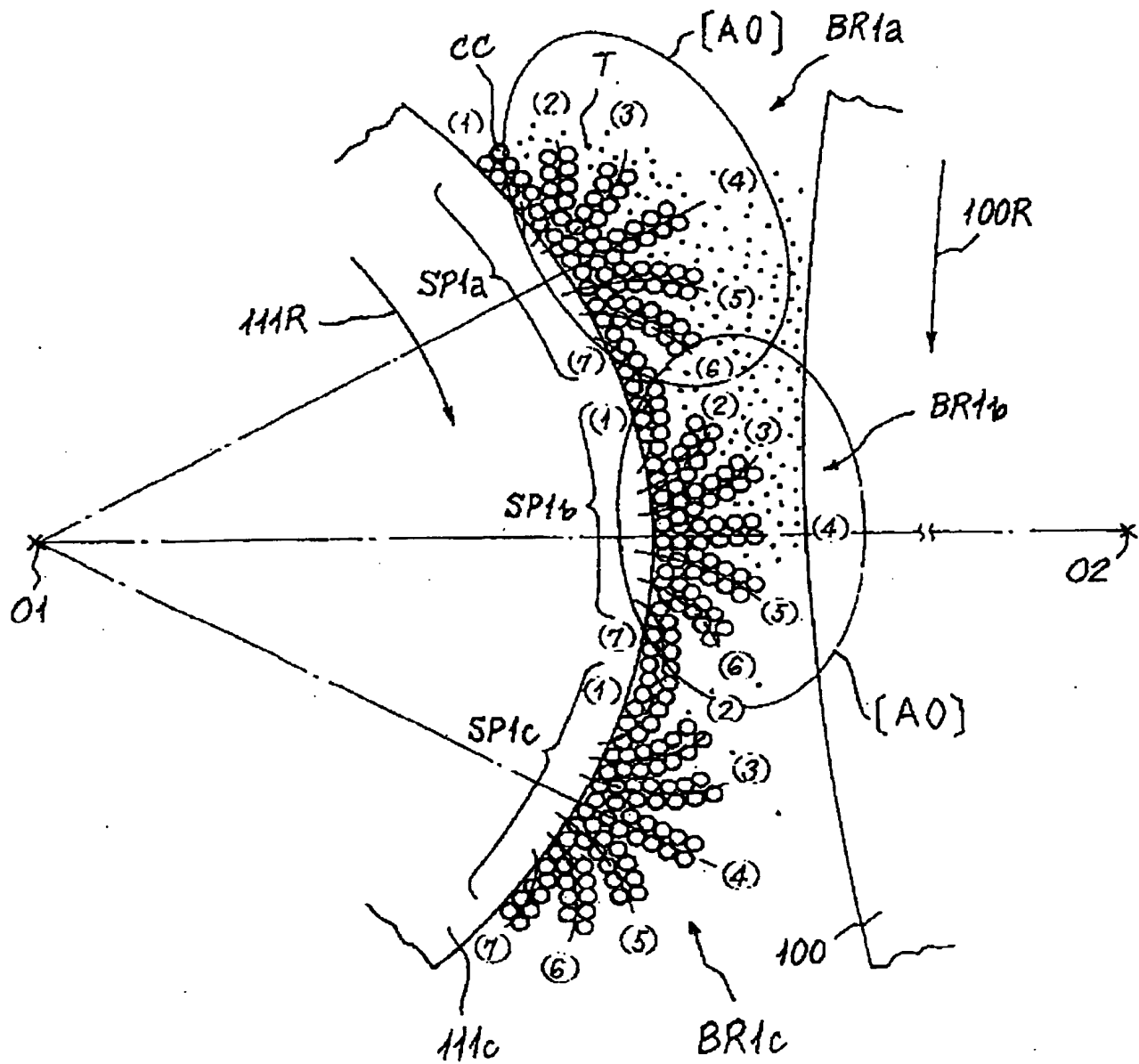


FIG. 13

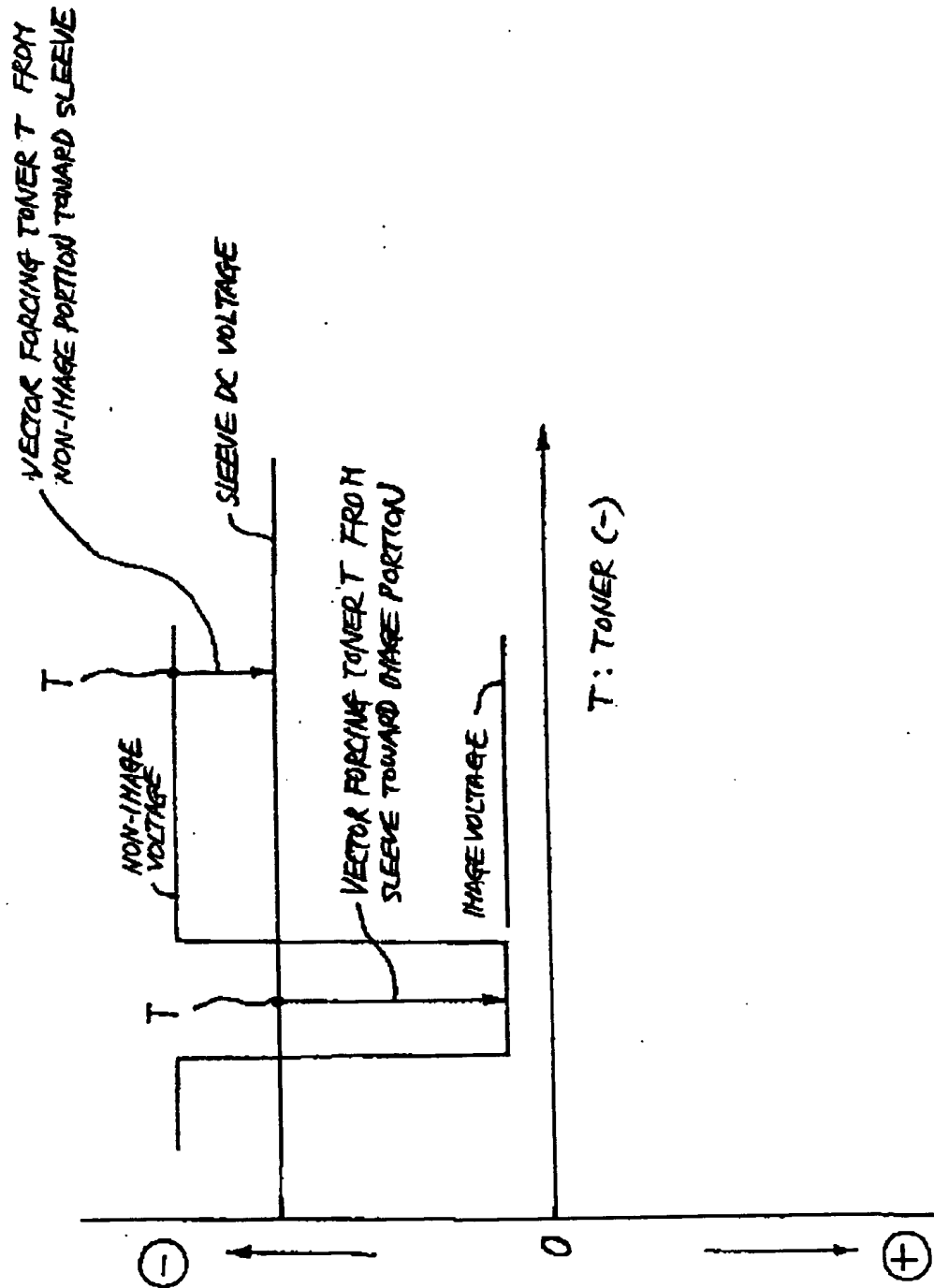


FIG. 14

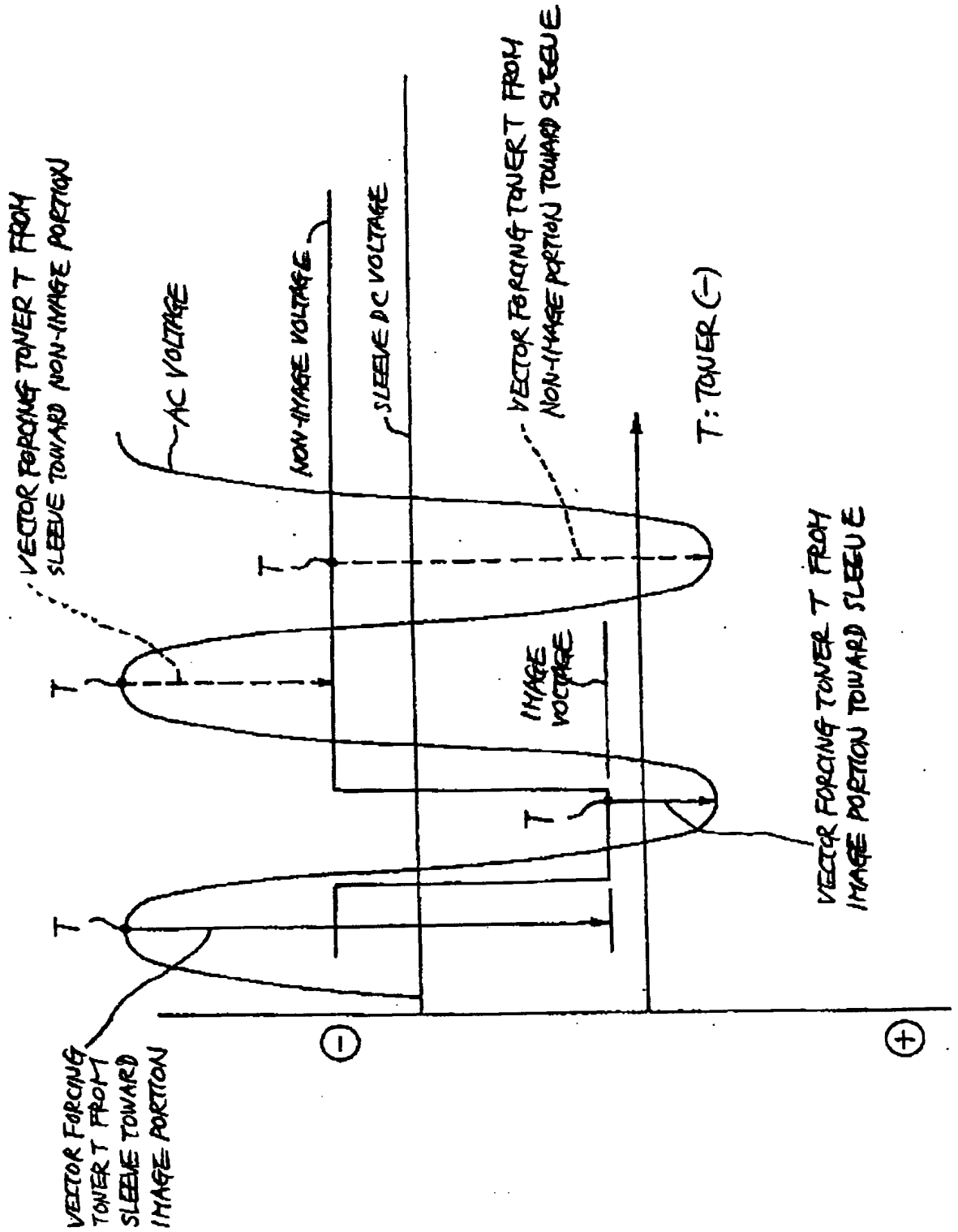


FIG. 15

q /m (μ C /g)	Tc (wt%)	d (μ m)	D (μ m)	R (mm)	V _{SL} (mm/s)	RIGHT HAND PER OF Q) (10^5 v/m)	L (mm)	E (10^5 v/m)	TAVER FLIGHT
-20	5	7	35	30	385	1.00	6.4	1.06	○
-20	5	7	35	30	210	1.83	4.8	1.61	×
-20	5	7	35	30	210	1.83	3.7	2.09	○
-30	5	7	35	30	210	2.75	2.7	2.51	×
-30	5	7	35	30	210	2.75	1.1	3.52	○
-20	10	7	35	30	210	1.26	6.4	1.51	○
-20	5	7	50	30	210	1.07	6.4	1.06	○×
-20	5	7	50	18	210	0.65	6.4	1.06	○

FIG. 16

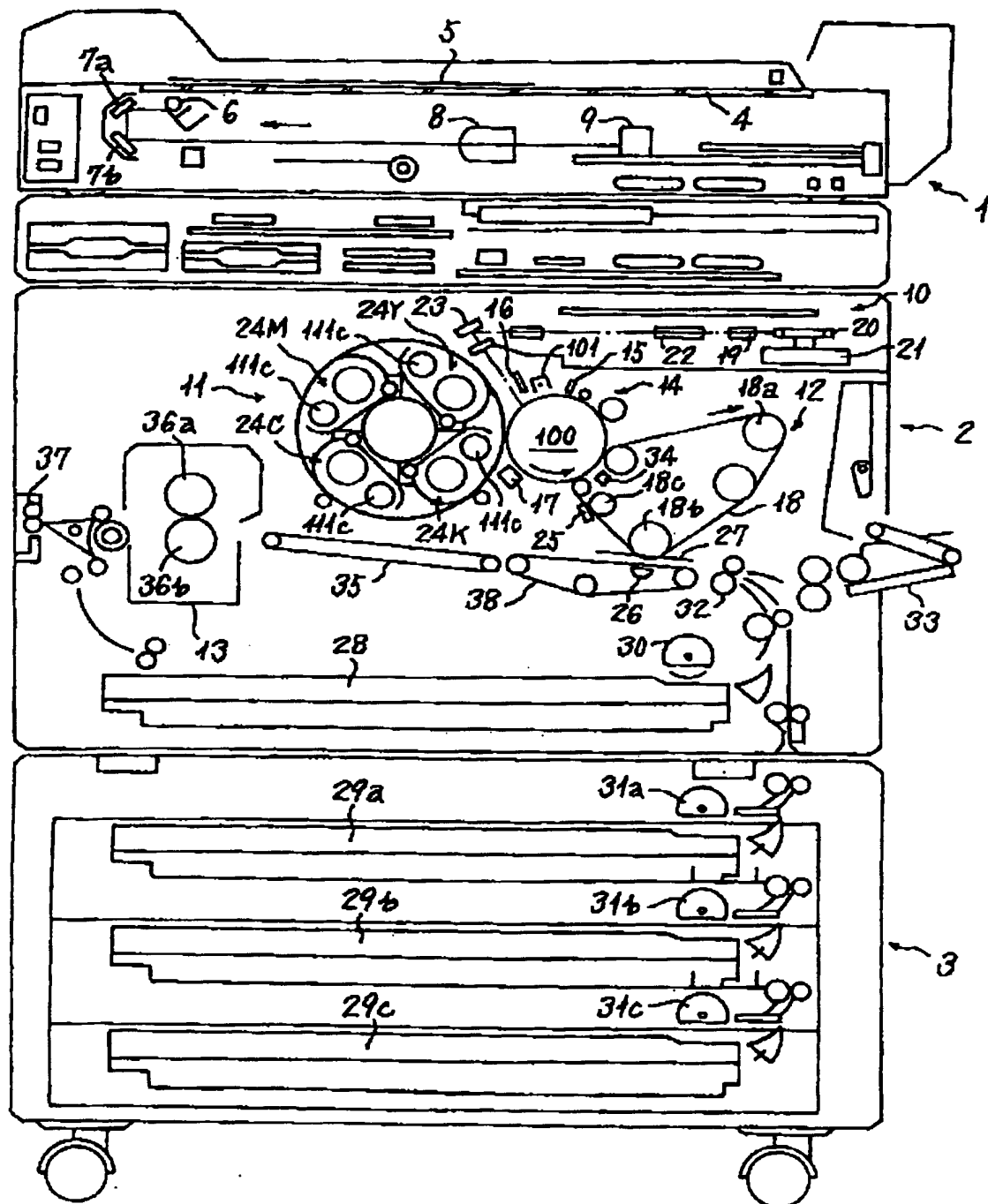


FIG. 17

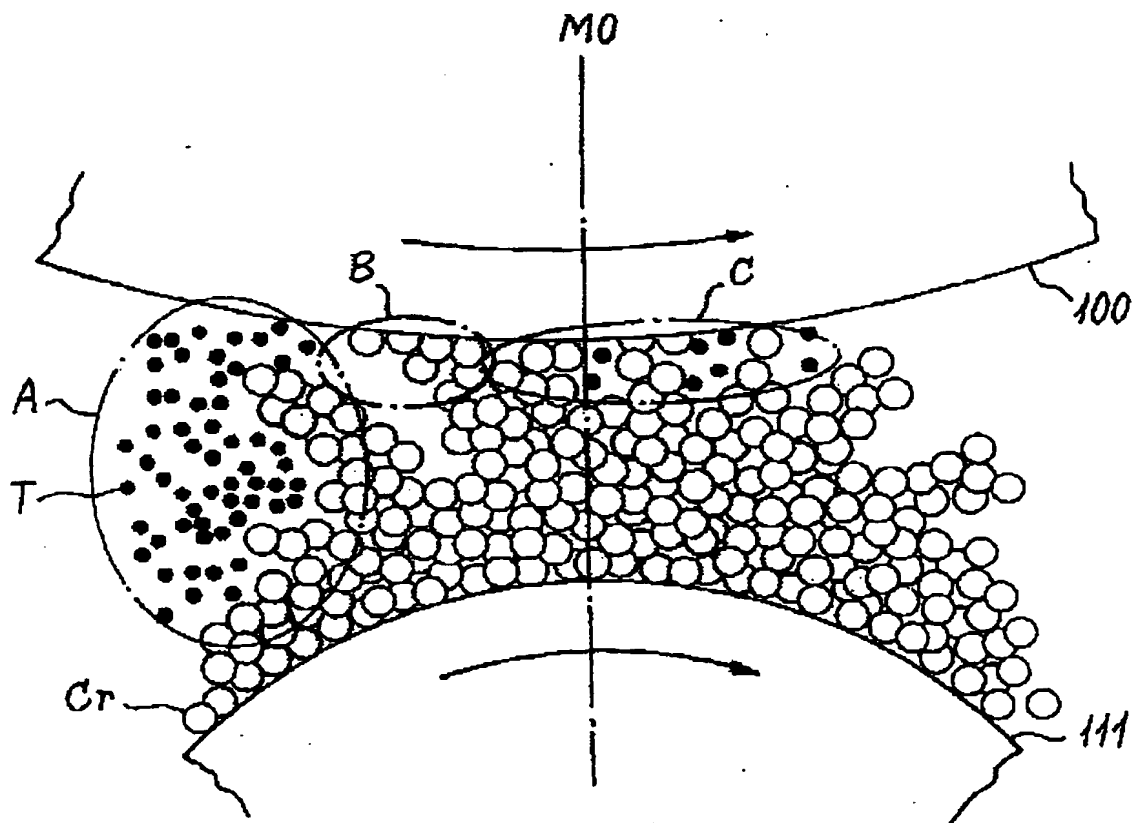


FIG. 18

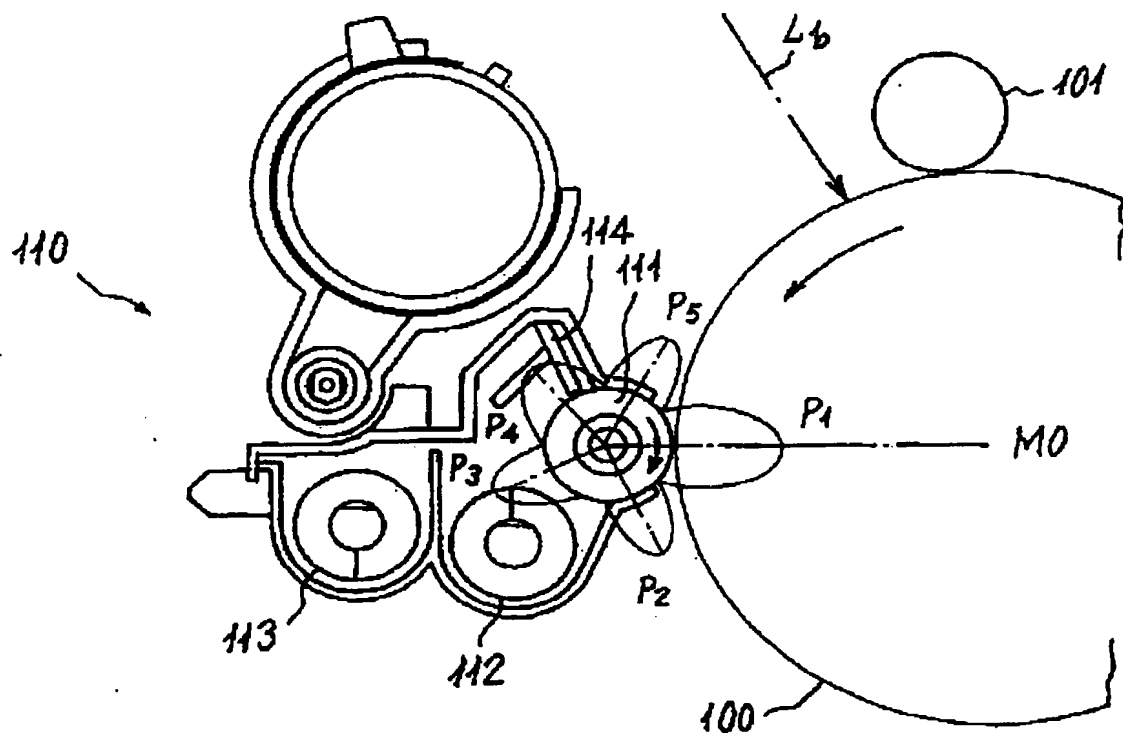


FIG. 19

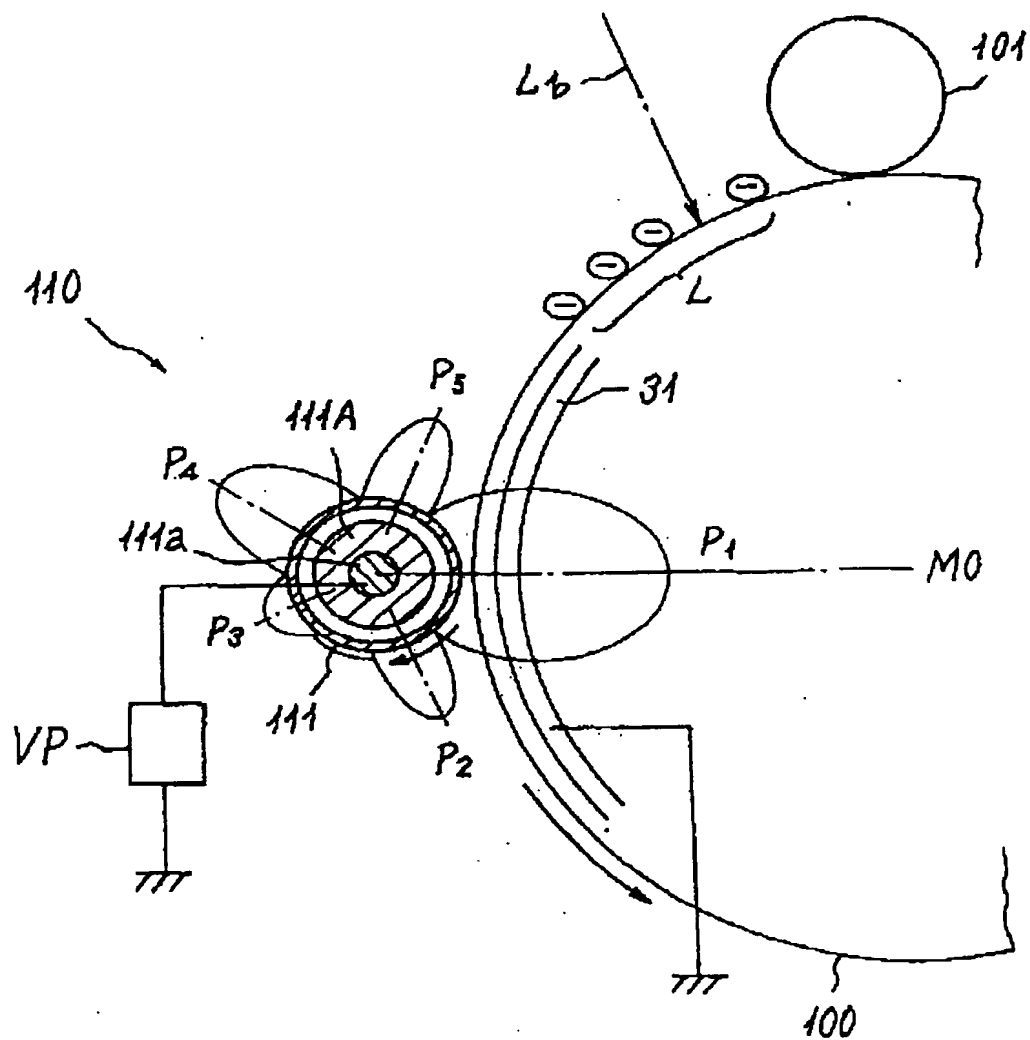


FIG. 20

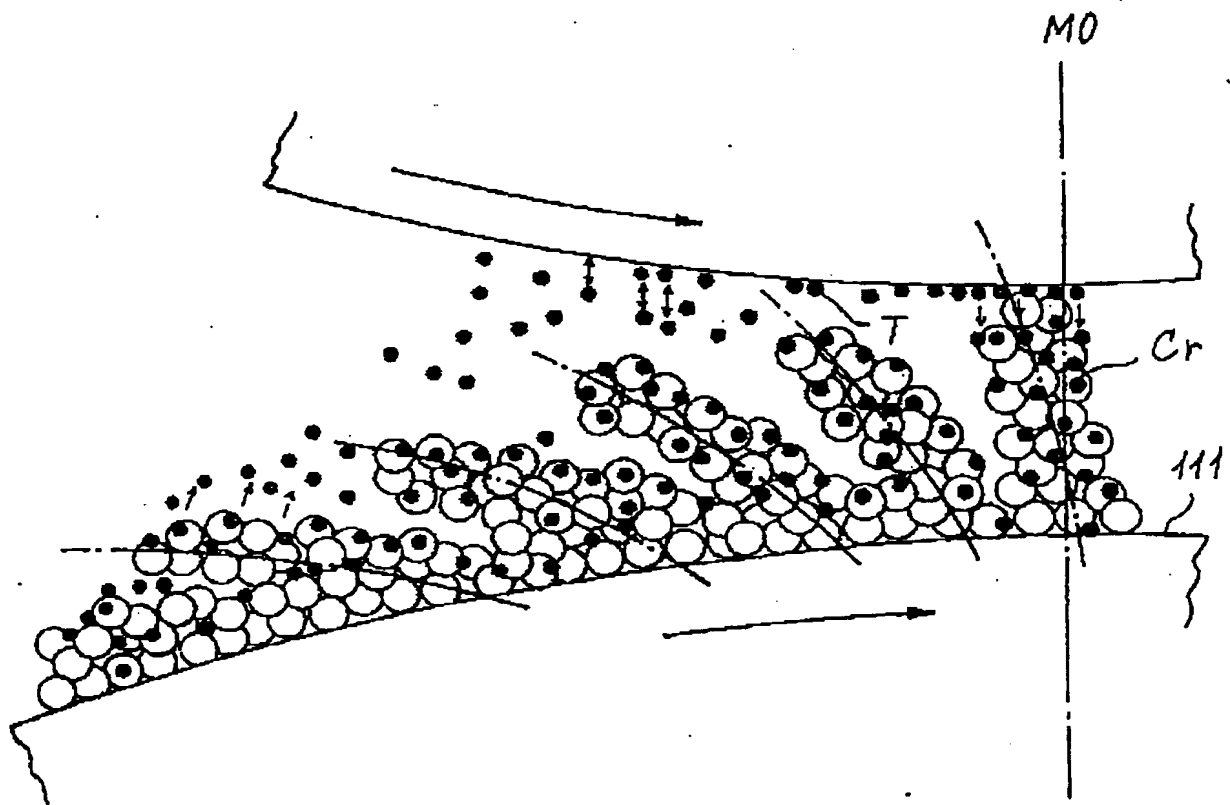


FIG. 21A

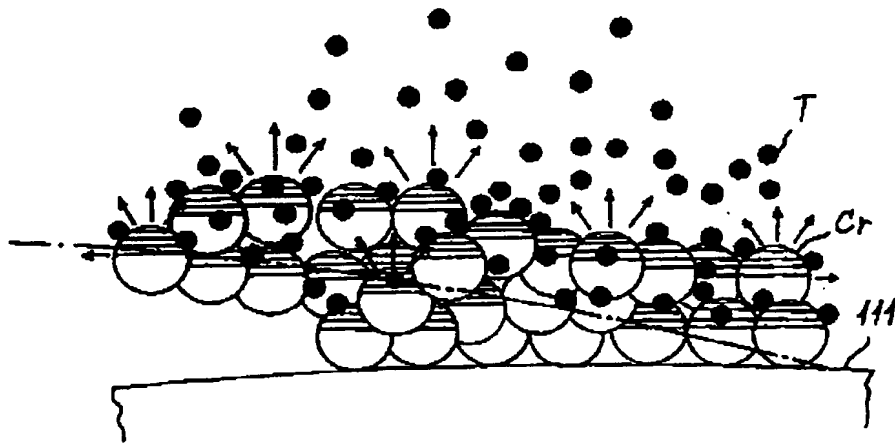


FIG. 21B

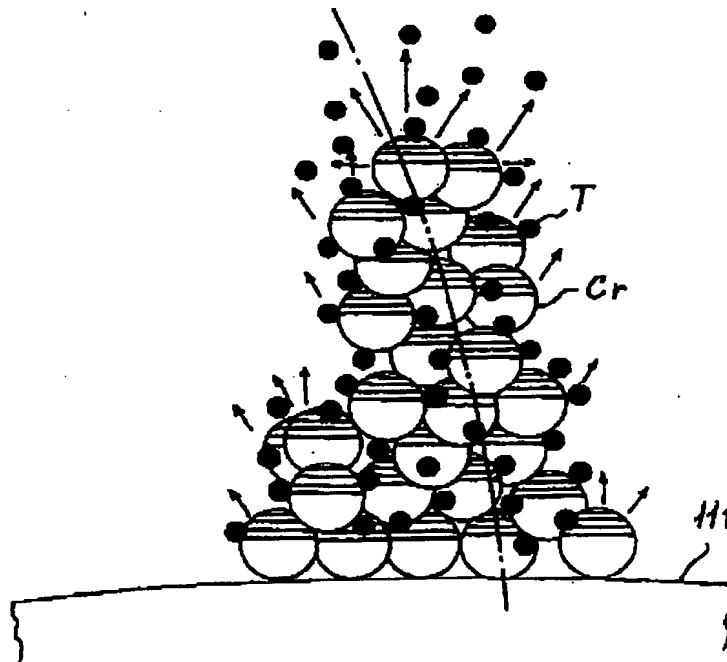


FIG. 22

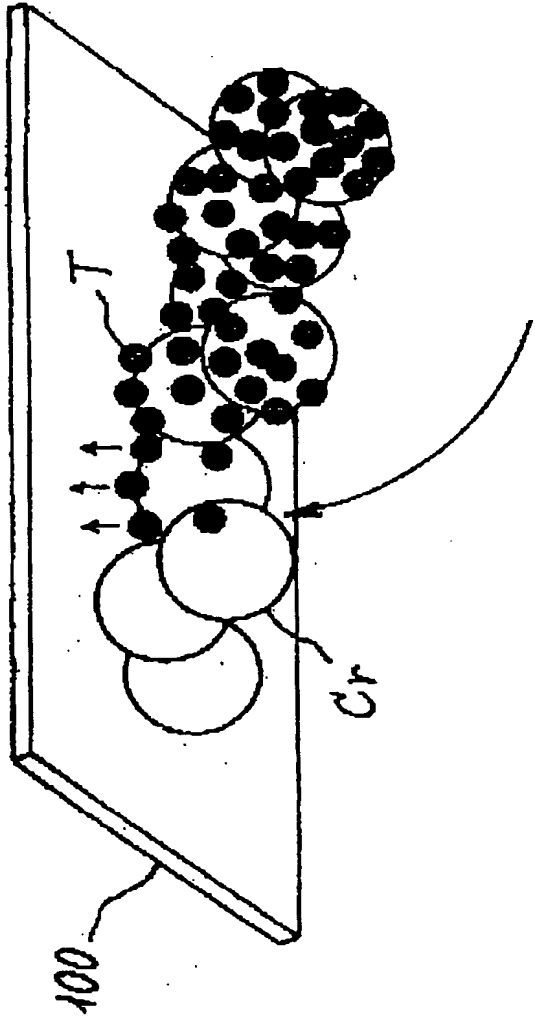


FIG. 23

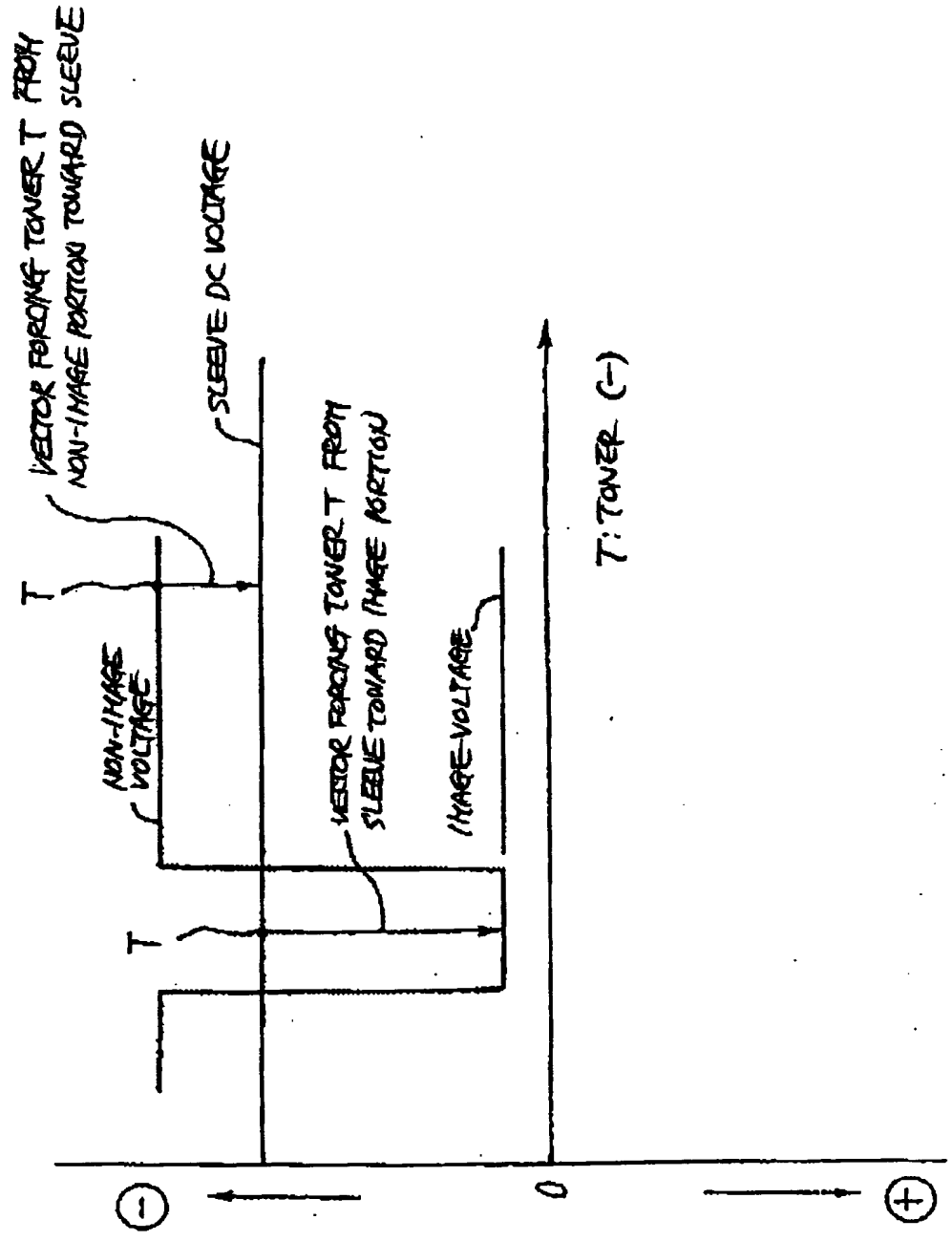


FIG. 24A

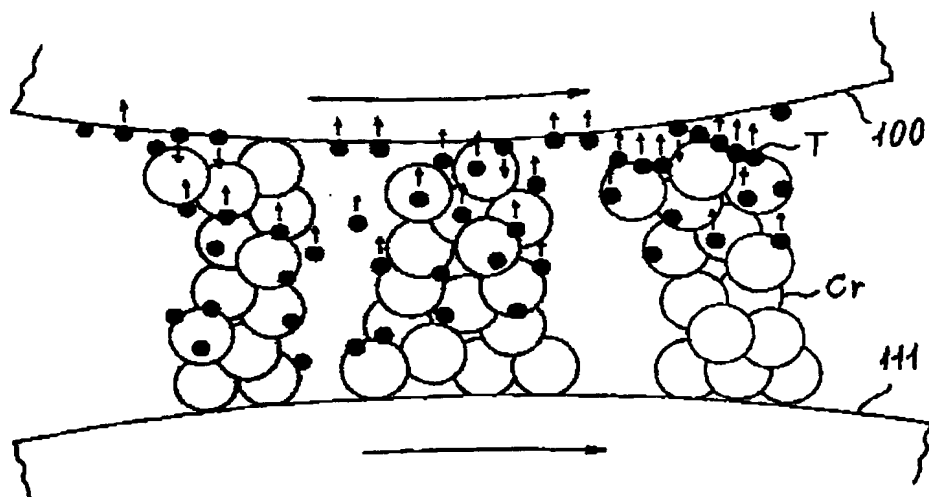


FIG. 24B

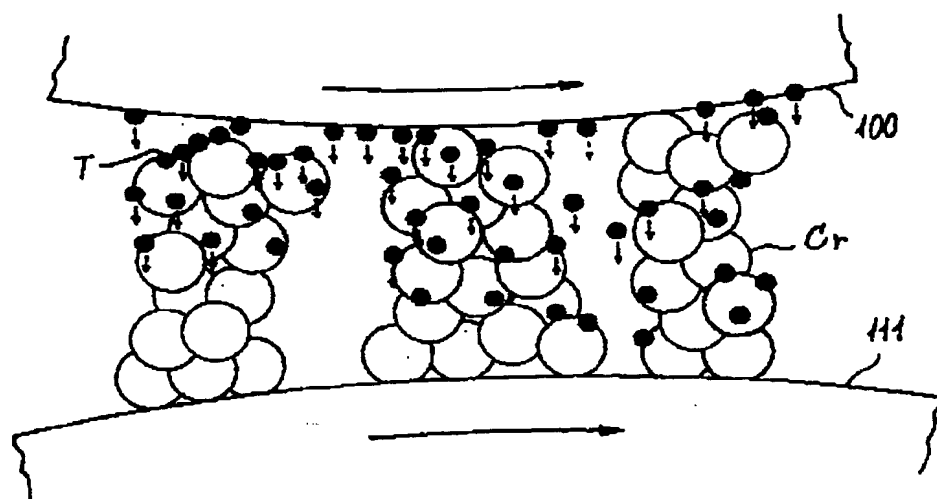


FIG. 25

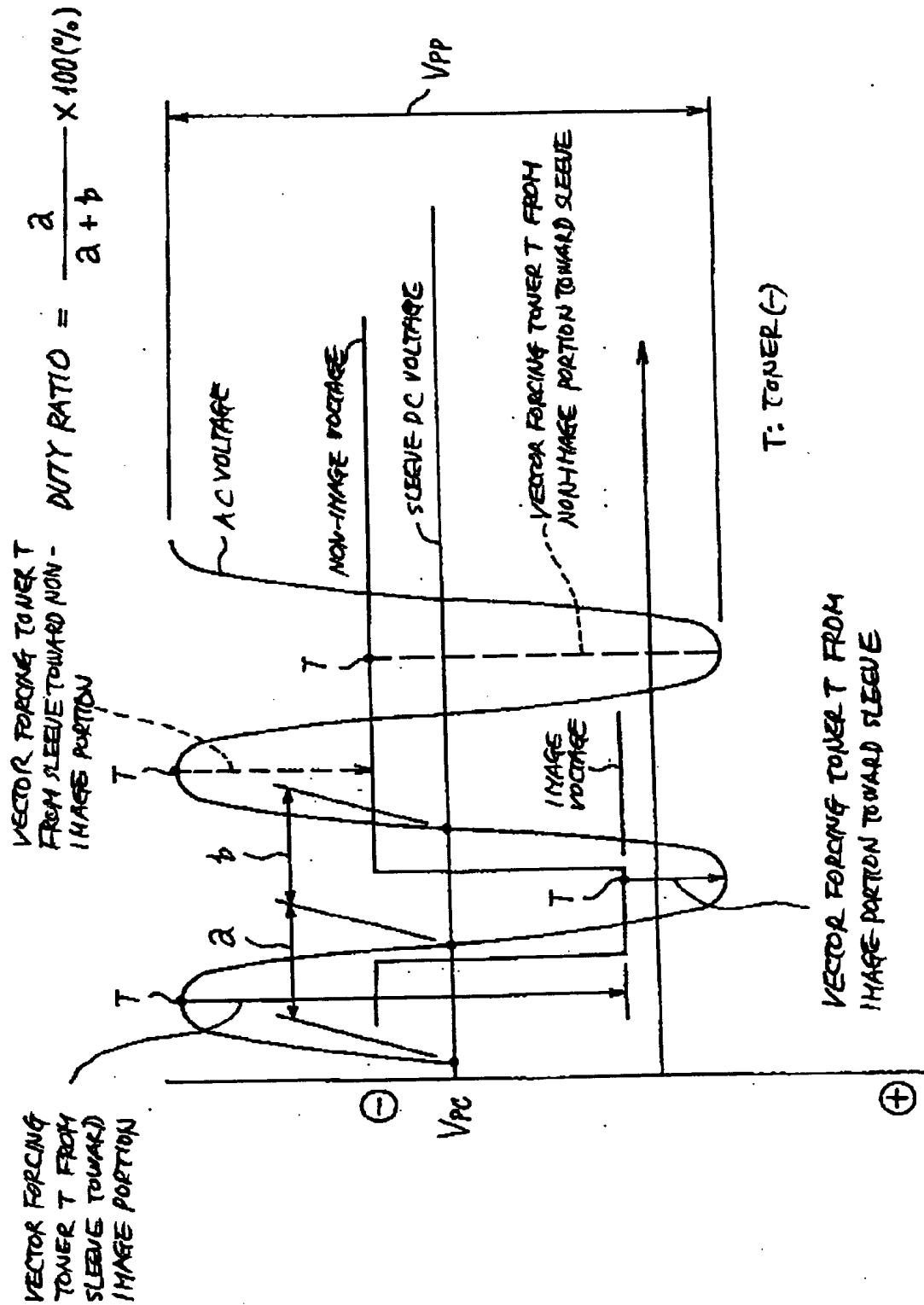


FIG. 26A

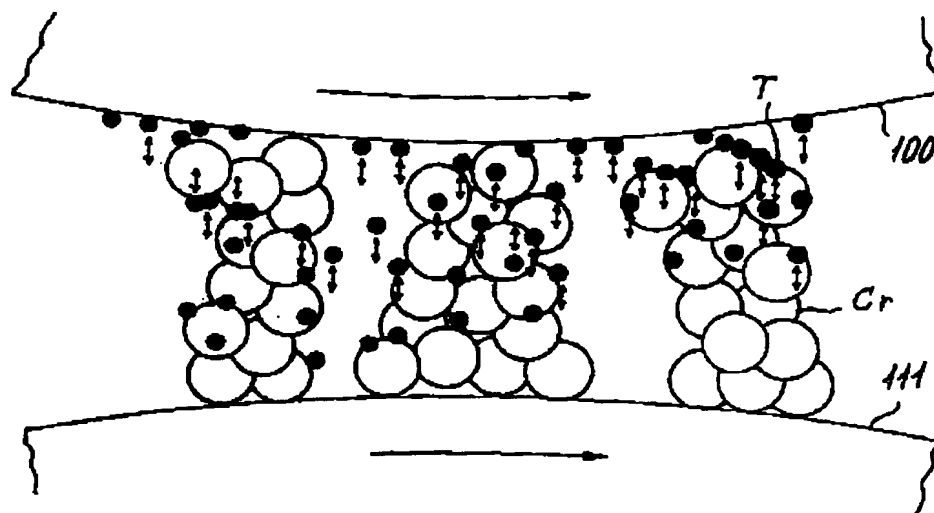


FIG. 26B

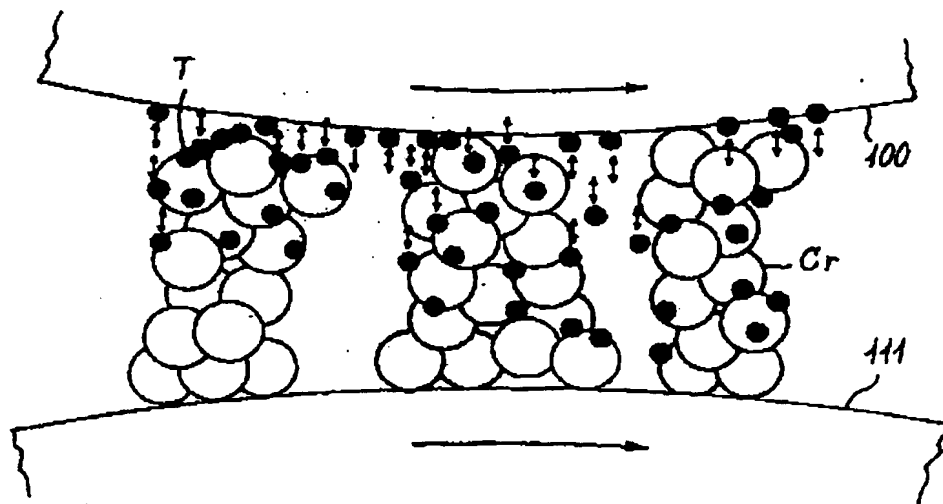


FIG. 27A

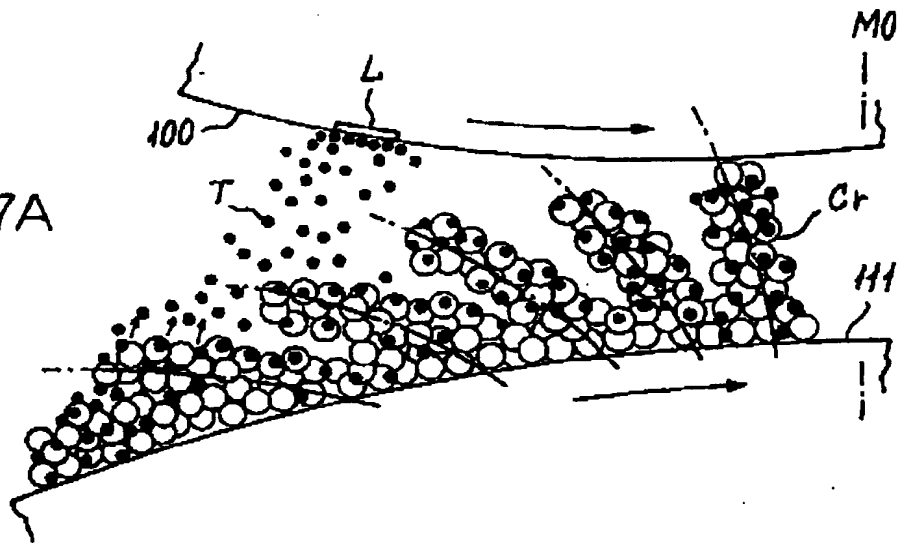


FIG. 27B

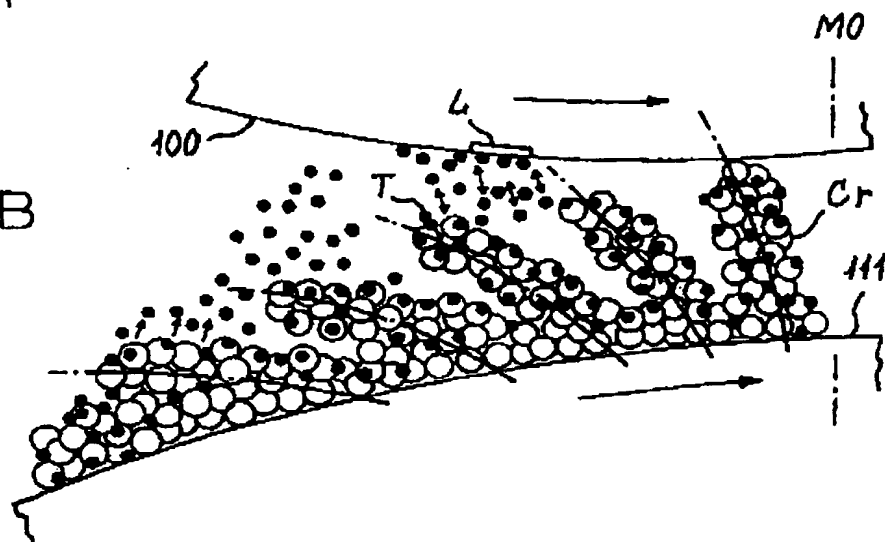


FIG. 27C

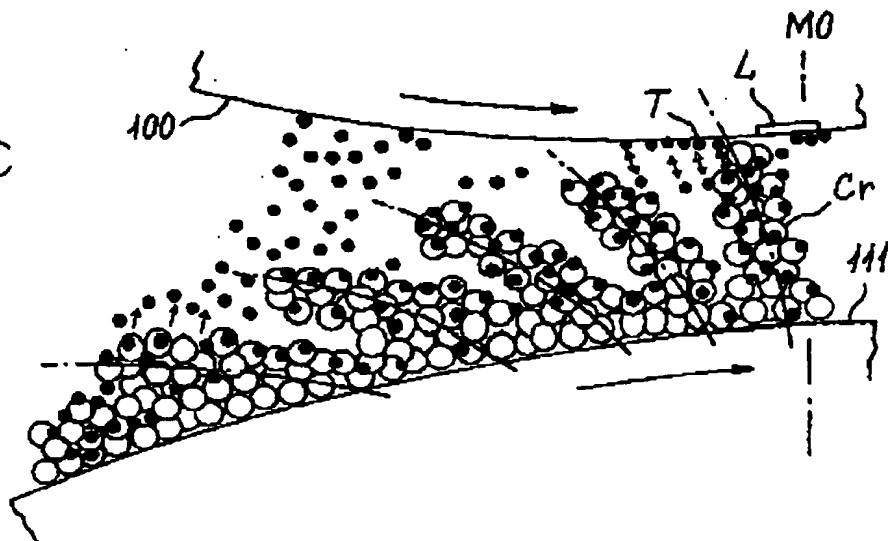


FIG. 28

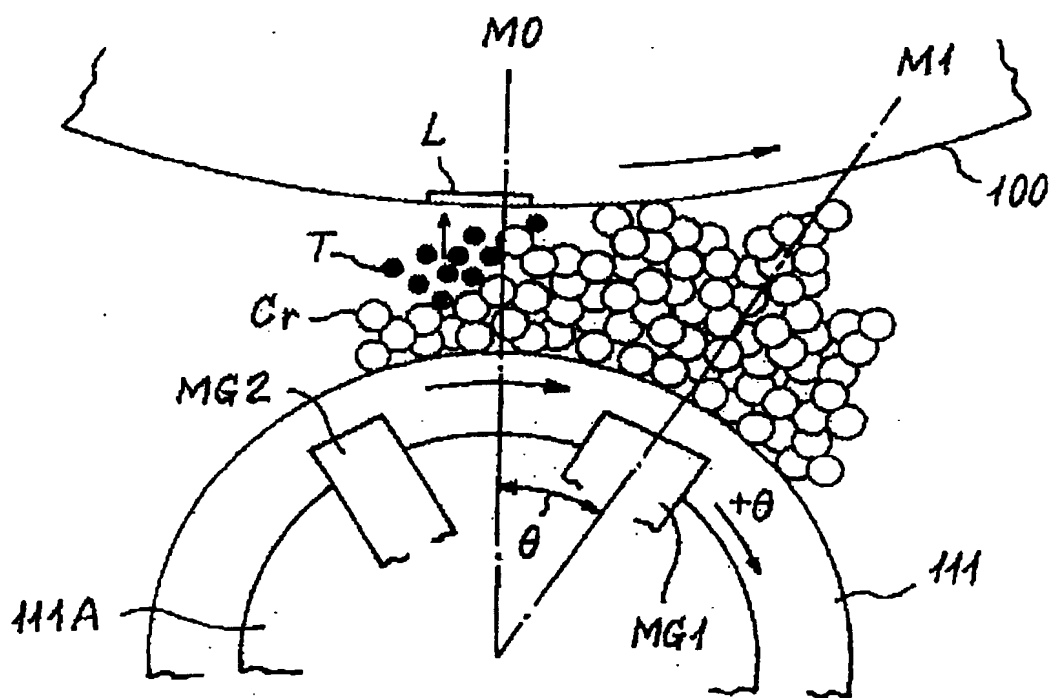


FIG. 29

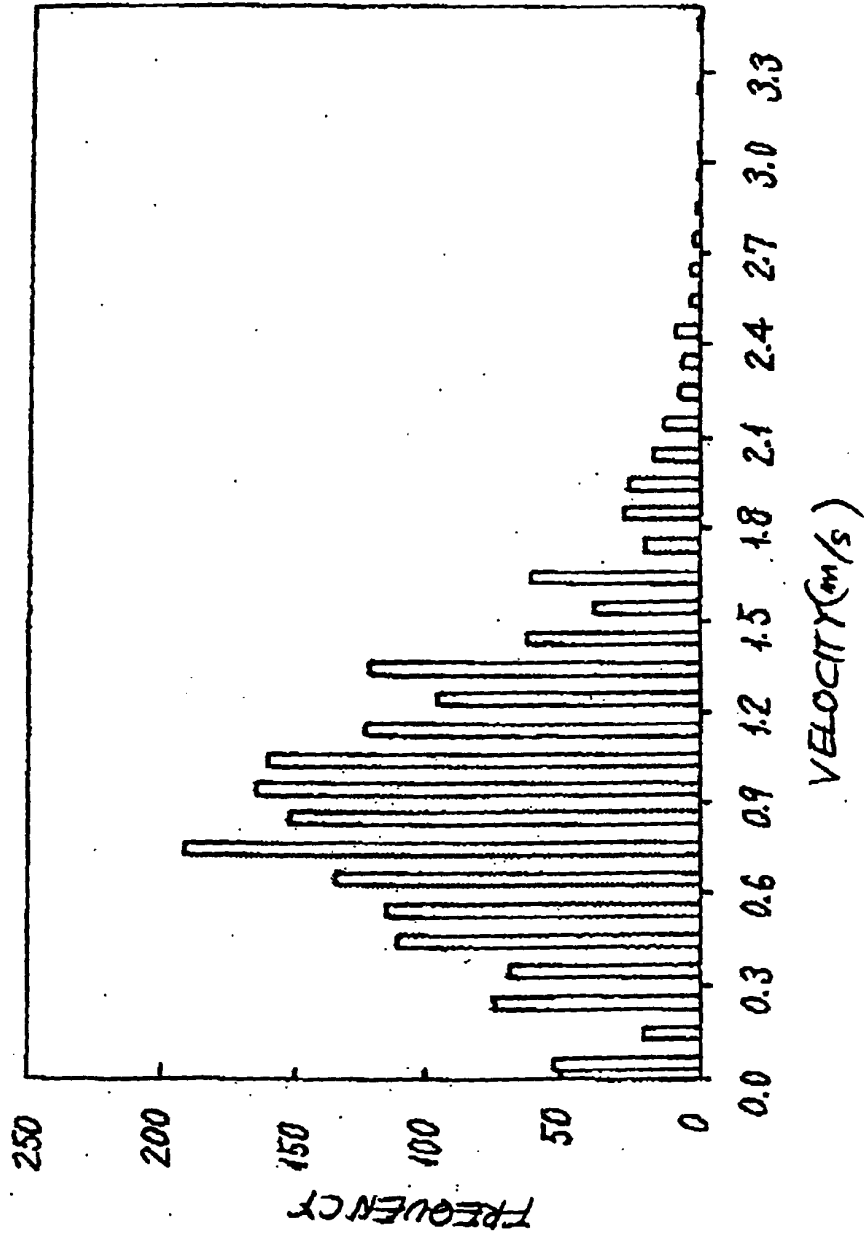


FIG. 30

	DUTY RATIO (%)	VELOCITY FOR $V_{pc} - V_{oc} = 400V$		VELOCITY FOR $V_{pc} - V_{oc} = 200V$		DENSITY UNIFORMITY	BACKGROUND CONTAMINATION	DOT UNIFORMITY
		MEAN (m/s)	STANDARD DEVIATION	MEAN (m/s)				
EX. 1	50	0.87	0.51	0.50		○	⊙	⊙
COM. EX. 1	40	0.80	0.42	0.45		△	⊙	⊙
EX. 2	20	0.95	0.57	0.58		⊙	⊙	⊙
EX. 3	60	1.0	0.66	0.65		⊙	⊙	○
COM. EX. 2	65	1.1	0.75	0.68		⊙	△	×